

Calculating the Applied Load

The LM Guide is capable of receiving loads and moments in all directions whether they are generated by the mounting orientation and position, the location of the center of gravity of the moving object, the position of the thrust, the acceleration, or the cutting resistance.

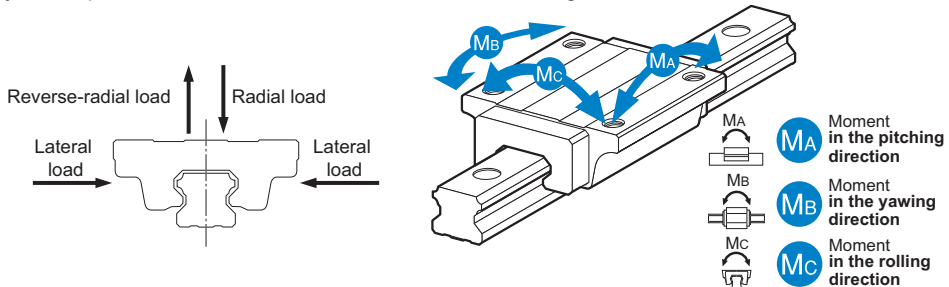


Fig. 1 Directions of the Loads Applied on the LM Guide

Calculating an Applied Load

Single-Axis Use

● Moment Equivalence

When the space to install the LM Guide is limited, you may have to use only one LM block, or two LM blocks in close contact with each other. In such a setting, the load distribution is not uniform. As a result, an excessive load is applied in localized areas (i.e., both ends) as shown in Fig. 2. Continued use under such conditions may result in flaking in those areas, consequently shortening the service life. In such a case, calculate the actual load by multiplying the moment value by any one of the equivalent-moment factors specified in Table 1 to Table 6.

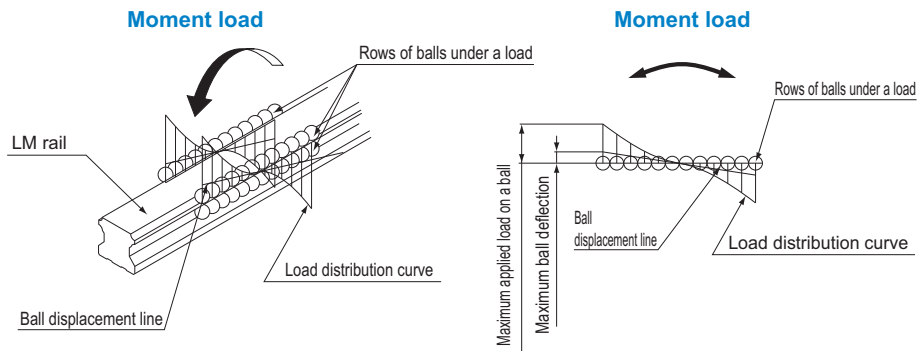


Fig. 2 Ball Load when a Moment is Applied

An equivalent-load equation applicable when a moment acts on an LM Guide is shown below.

$$P = K \cdot M$$

P : Equivalent load per LM Guide (N)

K : Equivalent moment factor

M : Applied moment (N·mm)

Selection Criteria

Calculating the Applied Load

● Equivalent Factor

Since the rated load is equivalent to the permissible moment, the equivalent factor to be multiplied when equalizing the M_A , M_B , and M_C moments to the applied load per block is obtained by dividing the rated loads in the corresponding directions.

With models other than 4-way equal load types, however, the load ratings in the 4 directions differ from each other. Therefore, the equivalent factor values for the M_A and M_C moments also differ depending on whether the direction is radial or reverse radial.

■ Equivalent Factors for the M_A Moment

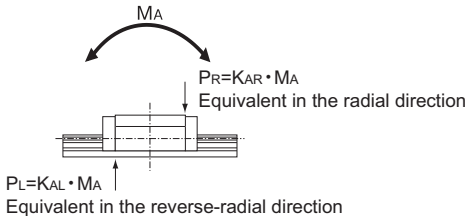


Fig. 3 Equivalent Factors for the M_A Moment

Equivalent factors for the M_A Moment

Equivalent factor in the radial direction	$K_{AR} = \frac{C_0}{M_A}$
Equivalent factor in the reverse-radial direction	$K_{AL} = \frac{C_{OL}}{M_A}$
$\frac{C_0}{K_{AR} \cdot M_A} = \frac{C_{OL}}{K_{AL} \cdot M_A} = 1$	

■ Equivalent Factors for the M_B Moment

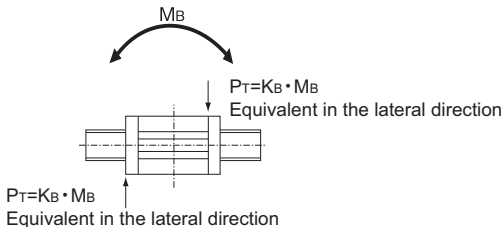


Fig. 4 Equivalent Factors for the M_B Moment

Equivalent factors for the M_B Moment

Equivalent factor in the lateral directions	$K_B = \frac{C_{OT}}{M_B}$
$\frac{C_{OT}}{K_B \cdot M_B} = 1$	

■ Equivalent Factors for the M_c Moment

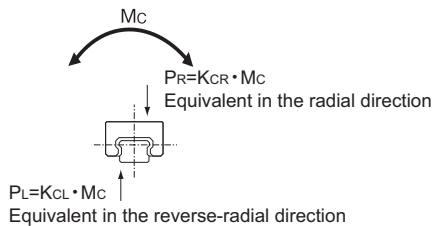


Fig. 5 Equivalent Factors for the M_c Moment

Equivalent factors for the M_c Moment

$$\begin{array}{l} \text{Equivalent factor} \\ \text{in the radial direction} \end{array} \quad K_{CR} = \frac{C_0}{M_c}$$

$$\begin{array}{l} \text{Equivalent factor in the} \\ \text{reverse-radial direction} \end{array} \quad K_{CL} = \frac{C_{0L}}{M_c}$$

$$\frac{C_0}{K_{CR} \cdot M_c} = \frac{C_{0L}}{K_{CL} \cdot M_c} = 1$$

C_0 : Basic static load rating (radial direction) (N)

C_{0L} : Basic static load rating (reverse-radial direction) (N)

C_{0T} : Basic static load rating (lateral direction) (N)

P_r : Calculated load (radial direction) (N)

P_l : Calculated load (reverse-radial direction) (N)

P_t : Calculated load (lateral direction) (N)

Selection Criteria

Calculating the Applied Load

Table 1: Equivalent Factors (Models SHS, SSR, SVR, SVS, SHW, and SRS)

Model No.	Equivalent factor							
	K_{AR1}	K_{AL1}	K_{AR2}	K_{AL2}	K_{B1}	K_{B2}	K_{CR}	K_{CL}
SHS	15	1.38×10^1	2.69×10^2	1.38×10^1	2.69×10^2		1.50×10^{-1}	
	15L	1.07×10^1	2.22×10^2	1.07×10^1	2.22×10^2		1.50×10^{-1}	
	20	1.15×10^1	2.18×10^2	1.15×10^1	2.18×10^2		1.06×10^{-1}	
	20L	8.85×10^2	1.79×10^2	8.85×10^2	1.79×10^2		1.06×10^{-1}	
	25	9.25×10^2	1.90×10^2	9.25×10^2	1.90×10^2		9.29×10^{-2}	
	25L	7.62×10^2	1.62×10^2	7.62×10^2	1.62×10^2		9.29×10^{-2}	
	30	8.47×10^2	1.63×10^2	8.47×10^2	1.63×10^2		7.69×10^{-2}	
	30L	6.52×10^2	1.34×10^2	6.52×10^2	1.34×10^2		7.69×10^{-2}	
	35	6.95×10^2	1.43×10^2	6.95×10^2	1.43×10^2		6.29×10^{-2}	
	35L	5.43×10^2	1.16×10^2	5.43×10^2	1.16×10^2		6.29×10^{-2}	
	45	6.13×10^2	1.24×10^2	6.13×10^2	1.24×10^2		4.69×10^{-2}	
	45L	4.79×10^2	1.02×10^2	4.79×10^2	1.02×10^2		4.69×10^{-2}	
	55	4.97×10^2	1.02×10^2	4.97×10^2	1.02×10^2		4.02×10^{-2}	
	55L	3.88×10^2	8.30×10^{-3}	3.88×10^2	8.30×10^{-3}		4.02×10^{-2}	
	65	3.87×10^2	7.91×10^{-3}	3.87×10^2	7.91×10^{-3}		3.40×10^{-2}	
	65L	3.06×10^2	6.51×10^{-3}	3.06×10^2	6.51×10^{-3}		3.40×10^{-2}	
SSR	15XW(XTB)	2.08×10^{-1}	1.04×10^{-1}	3.75×10^{-2}	1.87×10^{-2}	1.46×10^{-1}	2.59×10^{-2}	1.71×10^{-1}
	15XV(XSB)	3.19×10^{-1}	1.60×10^{-1}	5.03×10^{-2}	2.51×10^{-2}	2.20×10^{-1}	3.41×10^{-2}	1.71×10^{-1}
	20XW(XTB)	1.69×10^{-1}	8.46×10^{-2}	3.23×10^{-2}	1.62×10^{-2}	1.19×10^{-1}	2.25×10^{-2}	1.29×10^{-1}
	20XV(XSB)	2.75×10^{-1}	1.37×10^{-1}	4.28×10^{-2}	2.14×10^{-2}	1.89×10^{-1}	2.89×10^{-2}	1.29×10^{-1}
	25XW(XTB)	1.41×10^{-1}	7.05×10^{-2}	2.56×10^{-2}	1.28×10^{-2}	9.86×10^{-2}	1.77×10^{-2}	1.10×10^{-1}
	25XV(XSB)	2.15×10^{-1}	1.08×10^{-1}	3.40×10^{-2}	1.70×10^{-2}	1.48×10^{-1}	2.31×10^{-2}	1.10×10^{-1}
	30XW(XTB)	1.18×10^{-1}	5.91×10^{-2}	2.19×10^{-2}	1.10×10^{-2}	8.26×10^{-2}	1.52×10^{-2}	9.22×10^{-2}
	30XV(XSB)	1.85×10^{-1}	9.24×10^{-2}	4.69×10^{-2}	2.34×10^{-2}	1.27×10^{-1}	3.19×10^{-2}	9.16×10^{-2}
	35XW(XTB)	1.01×10^{-1}	5.03×10^{-2}	1.92×10^{-2}	9.60×10^{-3}	7.04×10^{-2}	1.33×10^{-2}	7.64×10^{-2}
	35XV(XSB)	1.58×10^{-1}	7.91×10^{-2}	4.04×10^{-2}	2.02×10^{-2}	1.09×10^{-1}	2.75×10^{-2}	7.59×10^{-2}
SVR	25	1.13×10^{-1}	7.28×10^{-2}	2.25×10^{-2}	1.45×10^{-2}	7.14×10^{-2}	1.43×10^{-2}	9.59×10^{-2}
	25L	9.14×10^{-2}	5.88×10^{-2}	1.85×10^{-2}	1.19×10^{-2}	5.80×10^{-2}	1.17×10^{-2}	9.59×10^{-2}
	30	1.01×10^{-1}	6.50×10^{-2}	1.89×10^{-2}	1.21×10^{-2}	6.36×10^{-2}	1.19×10^{-2}	8.45×10^{-2}
	30L	7.56×10^{-2}	4.86×10^{-2}	1.57×10^{-2}	1.01×10^{-2}	4.79×10^{-2}	1.00×10^{-2}	8.45×10^{-2}
	35	9.19×10^{-2}	5.91×10^{-2}	1.68×10^{-2}	1.08×10^{-2}	5.77×10^{-2}	1.06×10^{-2}	7.08×10^{-2}
	35L	6.80×10^{-2}	4.37×10^{-2}	1.39×10^{-2}	8.97×10^{-3}	4.31×10^{-2}	8.86×10^{-3}	7.08×10^{-2}
	45	6.73×10^{-2}	4.33×10^{-2}	1.35×10^{-2}	8.71×10^{-3}	4.25×10^{-2}	8.59×10^{-3}	5.32×10^{-2}
	45L	5.40×10^{-2}	3.47×10^{-2}	1.10×10^{-2}	7.09×10^{-3}	3.41×10^{-2}	6.97×10^{-3}	5.30×10^{-2}
	55	5.89×10^{-2}	3.79×10^{-2}	1.14×10^{-2}	7.35×10^{-3}	3.72×10^{-2}	7.24×10^{-3}	4.63×10^{-2}
	55L	4.55×10^{-2}	2.92×10^{-2}	9.45×10^{-3}	6.08×10^{-3}	2.89×10^{-2}	6.02×10^{-3}	4.63×10^{-2}
	65	4.85×10^{-2}	3.12×10^{-2}	1.01×10^{-2}	6.48×10^{-3}	3.06×10^{-2}	6.40×10^{-3}	3.91×10^{-2}
	65L	3.58×10^{-2}	2.30×10^{-2}	7.73×10^{-3}	4.97×10^{-3}	2.28×10^{-2}	4.93×10^{-3}	3.91×10^{-2}

Model No.	Equivalent factor								
	K _{AR1}	K _{AL1}	K _{AR2}	K _{AL2}	K _{B1}	K _{B2}	K _{CR}	K _{CL}	
SVS	25	1.09×10 ⁻¹	9.14×10 ⁻²	2.17×10 ⁻²	1.82×10 ⁻²	1.00×10 ⁻¹	2.00×10 ⁻²	9.95×10 ⁻²	8.35×10 ⁻²
	25L	8.82×10 ⁻²	7.40×10 ⁻²	1.78×10 ⁻²	1.50×10 ⁻²	8.13×10 ⁻²	1.64×10 ⁻²	9.95×10 ⁻²	8.35×10 ⁻²
	30	9.71×10 ⁻²	8.15×10 ⁻²	1.82×10 ⁻²	1.52×10 ⁻²	8.95×10 ⁻²	1.67×10 ⁻²	8.78×10 ⁻²	7.37×10 ⁻²
	30L	7.29×10 ⁻²	6.11×10 ⁻²	1.51×10 ⁻²	1.27×10 ⁻²	6.72×10 ⁻²	1.39×10 ⁻²	8.78×10 ⁻²	7.37×10 ⁻²
	35	8.84×10 ⁻²	7.42×10 ⁻²	1.61×10 ⁻²	1.35×10 ⁻²	8.14×10 ⁻²	1.48×10 ⁻²	7.36×10 ⁻²	6.17×10 ⁻²
	35L	6.56×10 ⁻²	5.50×10 ⁻²	1.34×10 ⁻²	1.13×10 ⁻²	6.04×10 ⁻²	1.24×10 ⁻²	7.36×10 ⁻²	6.17×10 ⁻²
	45	6.48×10 ⁻²	5.44×10 ⁻²	1.30×10 ⁻²	1.09×10 ⁻²	5.98×10 ⁻²	1.20×10 ⁻²	5.45×10 ⁻²	4.57×10 ⁻²
	45L	5.22×10 ⁻²	4.38×10 ⁻²	1.07×10 ⁻²	8.94×10 ⁻³	4.81×10 ⁻²	9.81×10 ⁻³	5.44×10 ⁻²	4.56×10 ⁻²
	55	5.67×10 ⁻²	4.76×10 ⁻²	1.10×10 ⁻²	9.24×10 ⁻³	5.23×10 ⁻²	1.01×10 ⁻²	4.78×10 ⁻²	4.01×10 ⁻²
	55L	4.39×10 ⁻²	3.68×10 ⁻²	9.12×10 ⁻³	7.65×10 ⁻³	4.05×10 ⁻²	8.40×10 ⁻³	4.78×10 ⁻²	4.01×10 ⁻²
SHW	65	4.67×10 ⁻²	3.92×10 ⁻²	9.72×10 ⁻³	8.15×10 ⁻³	4.30×10 ⁻²	8.95×10 ⁻³	4.04×10 ⁻²	3.39×10 ⁻²
	65L	3.46×10 ⁻²	2.90×10 ⁻²	7.46×10 ⁻³	6.26×10 ⁻³	3.19×10 ⁻²	6.88×10 ⁻³	4.04×10 ⁻²	3.39×10 ⁻²
	12	2.48×10 ⁻¹		4.69×10 ⁻²		2.48×10 ⁻¹	4.69×10 ⁻²		1.40×10 ⁻¹
	12HR	1.70×10 ⁻¹		3.52×10 ⁻²		1.70×10 ⁻¹	3.52×10 ⁻²		1.40×10 ⁻¹
	14	1.92×10 ⁻¹		3.80×10 ⁻²		1.92×10 ⁻¹	3.80×10 ⁻²		9.93×10 ⁻²
	17	1.72×10 ⁻¹		3.41×10 ⁻²		1.72×10 ⁻¹	3.41×10 ⁻²		6.21×10 ⁻²
	21	1.59×10 ⁻¹		2.95×10 ⁻²		1.59×10 ⁻¹	2.95×10 ⁻²		5.57×10 ⁻²
	27	1.21×10 ⁻¹		2.39×10 ⁻²		1.21×10 ⁻¹	2.39×10 ⁻²		4.99×10 ⁻²
	35	8.15×10 ⁻²		1.64×10 ⁻²		8.15×10 ⁻²	1.64×10 ⁻²		3.02×10 ⁻²
	50	6.22×10 ⁻²		1.24×10 ⁻²		6.22×10 ⁻²	1.24×10 ⁻²		2.30×10 ⁻²
SRS	5M	6.33×10 ⁻¹		9.20×10 ⁻²		6.45×10 ⁻¹	9.30×10 ⁻²		3.85×10 ⁻¹
	5GM	6.71×10 ⁻¹		9.15×10 ⁻²		6.66×10 ⁻¹	9.08×10 ⁻²		3.85×10 ⁻¹
	5N	5.23×10 ⁻¹		7.87×10 ⁻²		5.32×10 ⁻¹	7.99×10 ⁻²		3.86×10 ⁻¹
	5GN	5.25×10 ⁻¹		7.97×10 ⁻²		5.33×10 ⁻¹	8.12×10 ⁻²		3.84×10 ⁻¹
	5WM	4.48×10 ⁻¹		7.30×10 ⁻²		4.56×10 ⁻¹	7.40×10 ⁻²		1.96×10 ⁻¹
	5WGM	4.58×10 ⁻¹		7.39×10 ⁻²		4.54×10 ⁻¹	7.34×10 ⁻²		1.96×10 ⁻¹
	5WN	3.31×10 ⁻¹		5.93×10 ⁻²		3.36×10 ⁻¹	6.02×10 ⁻²		1.96×10 ⁻¹
	5WGN	3.31×10 ⁻¹		5.97×10 ⁻²		3.35×10 ⁻¹	6.05×10 ⁻²		1.96×10 ⁻¹
	7S	6.03×10 ⁻¹		7.65×10 ⁻²		6.27×10 ⁻¹	7.91×10 ⁻²		2.58×10 ⁻¹
	7GS	5.92×10 ⁻¹		7.89×10 ⁻²		6.14×10 ⁻¹	8.17×10 ⁻²		2.58×10 ⁻¹
	7M	4.19×10 ⁻¹		6.76×10 ⁻²		4.18×10 ⁻¹	6.94×10 ⁻²		2.58×10 ⁻¹
	7GM	4.27×10 ⁻¹		6.04×10 ⁻²		4.43×10 ⁻¹	6.23×10 ⁻²		2.34×10 ⁻¹
	7N	2.97×10 ⁻¹		5.35×10 ⁻²		3.07×10 ⁻¹	5.50×10 ⁻²		2.58×10 ⁻¹
	7GN	3.11×10 ⁻¹		5.35×10 ⁻²		3.20×10 ⁻¹	5.51×10 ⁻²		2.58×10 ⁻¹
	7WS	4.67×10 ⁻¹		6.89×10 ⁻²		4.84×10 ⁻¹	7.08×10 ⁻²		1.36×10 ⁻¹
	7WGS	5.23×10 ⁻¹		6.75×10 ⁻²		5.43×10 ⁻¹	6.95×10 ⁻²		1.36×10 ⁻¹
	7WM	3.01×10 ⁻¹		5.32×10 ⁻²		3.00×10 ⁻¹	5.46×10 ⁻²		1.36×10 ⁻¹
	7WGM	2.83×10 ⁻¹		4.87×10 ⁻²		2.93×10 ⁻¹	5.02×10 ⁻²		1.24×10 ⁻¹
	7WN	2.19×10 ⁻¹		4.16×10 ⁻²		2.24×10 ⁻¹	4.28×10 ⁻²		1.36×10 ⁻¹
	7WGN	2.20×10 ⁻¹		4.17×10 ⁻²		2.27×10 ⁻¹	4.31×10 ⁻²		1.36×10 ⁻¹

K_{AR1} : Equivalent factor in the M_a radial direction when one LM block is used
 K_{AL1} : Equivalent factor in the M_a reverse-radial direction when one LM block is used
 K_{AR2} : Equivalent factor in the M_a radial direction when two LM blocks are used in close contact with each other
 K_{AL2} : Equivalent factor in the M_a reverse-radial direction when two LM blocks are used in close contact with each other

K_{B1} : M_b Equivalent factor when one LM block is used
 K_{B2} : M_b Equivalent factor when two LM blocks are used in close contact with each other
 K_{CR} : Equivalent factor in the M_c radial direction
 K_{CL} : Equivalent factor in the M_c reverse-radial direction

Selection Criteria

Calculating the Applied Load

Table 2: Equivalent Factors (Models SRS, SCR, EPF, and HSR)

Model No.	Equivalent factor							
	K _{AR1}	K _{AL1}	K _{AR2}	K _{AL2}	K _{B1}	K _{B2}	K _{CR}	K _{CL}
SRS	9XS	4.86×10^{-1}	6.89×10^{-2}	5.04×10^{-1}	7.11×10^{-2}	2.17×10^{-1}		
	9XGS	5.37×10^{-1}	6.77×10^{-2}	5.57×10^{-1}	7.00×10^{-2}	2.17×10^{-1}		
	9XM	2.95×10^{-1}	5.27×10^{-2}	3.06×10^{-1}	5.43×10^{-2}	2.17×10^{-1}		
	9XGM	3.10×10^{-1}	5.28×10^{-2}	3.19×10^{-1}	5.44×10^{-2}	2.17×10^{-1}		
	9XN	2.13×10^{-1}	4.12×10^{-2}	2.19×10^{-1}	4.23×10^{-2}	2.17×10^{-1}		
	9XGN	2.18×10^{-1}	4.14×10^{-2}	2.24×10^{-1}	4.27×10^{-2}	2.17×10^{-1}		
	9WS	4.10×10^{-1}	5.73×10^{-2}	4.25×10^{-1}	5.63×10^{-2}	1.06×10^{-1}		
	9WGS	4.16×10^{-1}	5.80×10^{-2}	4.30×10^{-1}	5.98×10^{-2}	1.06×10^{-1}		
	9WM	2.37×10^{-1}	4.25×10^{-2}	2.44×10^{-1}	4.37×10^{-2}	1.06×10^{-1}		
	9WGM	2.41×10^{-1}	4.80×10^{-2}	2.41×10^{-1}	4.13×10^{-2}	1.06×10^{-1}		
	9WN	1.74×10^{-1}	3.35×10^{-2}	1.78×10^{-1}	3.44×10^{-2}	1.06×10^{-1}		
	9WGN	1.75×10^{-1}	3.38×10^{-2}	1.73×10^{-1}	3.32×10^{-2}	1.06×10^{-1}		
	12S	4.55×10^{-1}	5.60×10^{-2}	4.55×10^{-1}	5.60×10^{-2}	1.52×10^{-1}		
	12GS	5.04×10^{-1}	5.51×10^{-2}	5.04×10^{-1}	5.51×10^{-2}	1.52×10^{-1}		
	12M	2.94×10^{-1}	4.50×10^{-2}	2.94×10^{-1}	4.50×10^{-2}	1.53×10^{-1}		
	12GM	2.93×10^{-1}	4.49×10^{-2}	2.93×10^{-1}	4.49×10^{-2}	1.53×10^{-1}		
	12N	1.86×10^{-1}	3.51×10^{-2}	1.86×10^{-1}	3.51×10^{-2}	1.53×10^{-1}		
	12GN	1.96×10^{-1}	3.50×10^{-2}	1.96×10^{-1}	3.50×10^{-2}	1.53×10^{-1}		
	12WS	3.22×10^{-1}	5.00×10^{-2}	3.22×10^{-1}	5.00×10^{-2}	7.97×10^{-2}		
	12WGS	3.32×10^{-1}	5.07×10^{-2}	3.32×10^{-1}	5.07×10^{-2}	7.97×10^{-2}		
	12WM	2.00×10^{-1}	3.69×10^{-2}	2.00×10^{-1}	3.69×10^{-2}	7.97×10^{-2}		
	12WGM	2.07×10^{-1}	3.64×10^{-2}	2.07×10^{-1}	3.64×10^{-2}	7.96×10^{-2}		
	12WN	1.44×10^{-1}	2.83×10^{-2}	1.44×10^{-1}	2.83×10^{-2}	7.97×10^{-2}		
	12WGN	1.46×10^{-1}	2.85×10^{-2}	1.46×10^{-1}	2.85×10^{-2}	7.95×10^{-2}		
	15S	3.56×10^{-1}	4.38×10^{-2}	3.56×10^{-1}	4.38×10^{-2}	1.41×10^{-1}		
	15GS	3.37×10^{-1}	4.57×10^{-2}	3.37×10^{-1}	4.57×10^{-2}	1.41×10^{-1}		
	15M	2.17×10^{-1}	3.69×10^{-2}	2.17×10^{-1}	3.69×10^{-2}	1.41×10^{-1}		
	15GM	2.31×10^{-1}	3.61×10^{-2}	2.31×10^{-1}	3.61×10^{-2}	1.41×10^{-1}		
	15N	1.43×10^{-1}	2.73×10^{-2}	1.43×10^{-1}	2.73×10^{-2}	1.41×10^{-1}		
	15GN	1.45×10^{-1}	2.75×10^{-2}	1.45×10^{-1}	2.75×10^{-2}	1.41×10^{-1}		
	15WS	2.34×10^{-1}	3.76×10^{-2}	2.34×10^{-1}	3.76×10^{-2}	4.83×10^{-2}		
	15WGS	2.34×10^{-1}	3.81×10^{-2}	2.34×10^{-1}	3.81×10^{-2}	4.84×10^{-2}		
	15WM	1.67×10^{-1}	2.94×10^{-2}	1.67×10^{-1}	2.94×10^{-2}	4.83×10^{-2}		
	15WGM	1.63×10^{-1}	2.93×10^{-2}	1.63×10^{-1}	2.93×10^{-2}	4.83×10^{-2}		
	15WN	1.13×10^{-1}	2.27×10^{-2}	1.13×10^{-1}	2.27×10^{-2}	4.83×10^{-2}		
	15WGN	1.15×10^{-1}	2.28×10^{-2}	1.15×10^{-1}	2.28×10^{-2}	4.83×10^{-2}		
	20M	1.80×10^{-1}	3.30×10^{-2}	1.86×10^{-1}	3.41×10^{-2}	9.34×10^{-2}		
	20GM	2.10×10^{-1}	3.88×10^{-2}	2.10×10^{-1}	3.87×10^{-2}	1.03×10^{-1}		
	25M	1.14×10^{-1}	2.17×10^{-2}	1.14×10^{-1}	2.17×10^{-2}	8.13×10^{-2}		
	25GM	1.23×10^{-1}	2.32×10^{-2}	1.23×10^{-1}	2.32×10^{-2}	8.75×10^{-2}		

Model No.	Equivalent factor							
	K _{AR1}	K _{AL1}	K _{AR2}	K _{AL2}	K _{B1}	K _{B2}	K _{CR}	K _{CL}
SCR	15S	1.38×10^{-1}	2.69×10^{-2}		1.38×10^{-1}		—	
	20S	1.15×10^{-1}	2.18×10^{-2}		1.15×10^{-1}		—	
	20	8.85×10^{-2}	1.79×10^{-2}		8.85×10^{-2}		—	
	25	9.25×10^{-2}	1.90×10^{-2}		9.25×10^{-2}	1.90×10^{-2}	—	
	30	8.47×10^{-2}	1.63×10^{-2}		8.47×10^{-2}	1.63×10^{-2}	—	
	35	6.95×10^{-2}	1.43×10^{-2}		6.95×10^{-2}	1.43×10^{-2}	—	
	45	6.13×10^{-2}	1.24×10^{-2}		6.13×10^{-2}	1.24×10^{-2}	—	
EPF	65	3.87×10^{-2}	7.91×10^{-3}		3.87×10^{-2}	7.91×10^{-3}	—	
	7M	3.55×10^{-1}	—		3.55×10^{-1}		2.86×10^{-1}	
	9M	3.10×10^{-1}	—		3.10×10^{-1}		2.22×10^{-1}	
	12M	2.68×10^{-1}	—		2.68×10^{-1}		1.67×10^{-1}	
HSR	15M	2.00×10^{-1}	—		2.00×10^{-1}		1.34×10^{-1}	
	8	4.39×10^{-1}	6.75×10^{-2}		4.39×10^{-1}	6.75×10^{-2}	2.97×10^{-1}	
	10	3.09×10^{-1}	5.33×10^{-2}		3.09×10^{-1}	5.33×10^{-2}	2.35×10^{-1}	
	12	2.08×10^{-1}	3.74×10^{-2}		2.08×10^{-1}	3.74×10^{-2}	1.91×10^{-1}	
	15	1.66×10^{-1}	2.98×10^{-2}		1.66×10^{-1}	2.98×10^{-2}	1.57×10^{-1}	
	15L	1.18×10^{-1}	2.33×10^{-2}		1.18×10^{-1}	2.33×10^{-2}	1.57×10^{-1}	
	20	1.26×10^{-1}	2.28×10^{-2}		1.26×10^{-1}	2.28×10^{-2}	1.17×10^{-1}	
	20L	9.88×10^{-2}	1.92×10^{-2}		9.88×10^{-2}	1.92×10^{-2}	1.17×10^{-1}	
	25	1.12×10^{-1}	2.02×10^{-2}		1.12×10^{-1}	2.02×10^{-2}	9.96×10^{-2}	
	25L	8.23×10^{-2}	1.70×10^{-2}		8.23×10^{-2}	1.70×10^{-2}	9.96×10^{-2}	
	30	8.97×10^{-2}	1.73×10^{-2}		8.97×10^{-2}	1.73×10^{-2}	8.24×10^{-2}	
	30L	7.05×10^{-2}	1.44×10^{-2}		7.05×10^{-2}	1.44×10^{-2}	8.24×10^{-2}	
	35	7.85×10^{-2}	1.56×10^{-2}		7.85×10^{-2}	1.56×10^{-2}	6.69×10^{-2}	
	35L	6.17×10^{-2}	1.29×10^{-2}		6.17×10^{-2}	1.29×10^{-2}	6.69×10^{-2}	
	45	6.73×10^{-2}	1.21×10^{-2}		6.73×10^{-2}	1.21×10^{-2}	5.20×10^{-2}	
	45L	5.22×10^{-2}	1.01×10^{-2}		5.22×10^{-2}	1.01×10^{-2}	5.20×10^{-2}	
	55	5.61×10^{-2}	1.03×10^{-2}		5.61×10^{-2}	1.03×10^{-2}	4.26×10^{-2}	
	55L	4.35×10^{-2}	8.56×10^{-3}		4.35×10^{-2}	8.56×10^{-3}	4.26×10^{-2}	
	65	4.49×10^{-2}	9.13×10^{-3}		4.49×10^{-2}	9.13×10^{-3}	3.68×10^{-2}	
	65L	3.29×10^{-2}	7.08×10^{-3}		3.29×10^{-2}	7.08×10^{-3}	3.68×10^{-2}	
	85	3.49×10^{-2}	6.94×10^{-3}		3.49×10^{-2}	6.94×10^{-3}	2.78×10^{-2}	
	85L	2.74×10^{-2}	5.72×10^{-3}		2.74×10^{-2}	5.72×10^{-3}	2.78×10^{-2}	
	100	2.61×10^{-2}	5.16×10^{-3}		2.61×10^{-2}	5.16×10^{-3}	2.24×10^{-2}	
	120	2.37×10^{-2}	4.72×10^{-3}		2.37×10^{-2}	4.72×10^{-3}	1.96×10^{-2}	
	150	2.17×10^{-2}	4.35×10^{-3}		2.17×10^{-2}	4.35×10^{-3}	1.61×10^{-2}	
	15M2A	1.65×10^{-1}	2.89×10^{-2}		1.65×10^{-1}	2.89×10^{-2}	1.86×10^{-1}	
	20M2A	1.23×10^{-1}	2.23×10^{-2}		1.23×10^{-1}	2.23×10^{-2}	1.34×10^{-1}	
	25M2A	1.10×10^{-1}	1.98×10^{-2}		1.10×10^{-1}	1.98×10^{-2}	1.14×10^{-1}	

K_{AR1} : Equivalent factor in the M_A radial direction when one LM block is used

K_{AL1} : Equivalent factor in the M_A reverse-radial direction when one LM block is used

K_{AR2} : Equivalent factor in the M_A radial direction when two LM blocks are used in close contact with each other

K_{AL2} : Equivalent factor in the M_A reverse-radial direction when two LM blocks are used in close contact with each other

K_{B1} : Equivalent factor when one LM block is used

K_{B2} : Equivalent factor when two LM blocks are used in close contact with each other

K_{CR} : Equivalent factor in the M_C radial direction

K_{CL} : Equivalent factor in the M_C reverse-radial direction

Selection Criteria

Calculating the Applied Load

Table 3: Equivalent Factors (Models SR, NR-X, and NR)

Model No.	Equivalent factor								
	K_{AR1}	K_{AL1}	K_{AR2}	K_{AL2}	K_{B1}	K_{B2}	K_{CR}	K_{CL}	
SR	15W (TB)	2.08×10^{-1}	1.04×10^{-1}	3.72×10^{-2}	1.86×10^{-2}	1.46×10^{-1}	2.57×10^{-2}	1.69×10^{-1}	8.43×10^{-2}
	15V (SB)	3.40×10^{-1}	1.70×10^{-1}	5.00×10^{-2}	2.50×10^{-2}	2.34×10^{-1}	3.37×10^{-2}	1.69×10^{-1}	8.43×10^{-2}
	20W (TB)	1.71×10^{-1}	8.56×10^{-2}	3.23×10^{-2}	1.61×10^{-2}	1.20×10^{-1}	2.24×10^{-2}	1.28×10^{-1}	6.40×10^{-2}
	20V (SB)	2.69×10^{-1}	1.34×10^{-1}	4.34×10^{-2}	2.17×10^{-2}	1.86×10^{-1}	2.95×10^{-2}	1.28×10^{-1}	6.39×10^{-2}
	25W (TB)	1.37×10^{-1}	6.85×10^{-2}	2.57×10^{-2}	1.29×10^{-2}	9.61×10^{-2}	1.78×10^{-2}	1.09×10^{-1}	5.47×10^{-2}
	25V (SB)	2.15×10^{-1}	1.08×10^{-1}	3.47×10^{-2}	1.73×10^{-2}	1.49×10^{-1}	2.36×10^{-2}	1.10×10^{-1}	5.48×10^{-2}
	30W (TB)	1.14×10^{-1}	5.71×10^{-2}	2.21×10^{-2}	1.10×10^{-2}	8.01×10^{-2}	1.54×10^{-2}	9.16×10^{-2}	4.58×10^{-2}
	30V (SB)	1.98×10^{-1}	9.92×10^{-2}	2.98×10^{-2}	1.49×10^{-2}	1.37×10^{-1}	2.01×10^{-2}	9.16×10^{-2}	4.58×10^{-2}
	35W (TB)	1.04×10^{-1}	5.21×10^{-2}	1.91×10^{-2}	9.57×10^{-3}	7.30×10^{-2}	1.32×10^{-2}	7.59×10^{-2}	3.80×10^{-2}
	35V (SB)	1.70×10^{-1}	8.50×10^{-2}	2.61×10^{-2}	1.31×10^{-2}	1.17×10^{-1}	1.77×10^{-2}	7.59×10^{-2}	3.80×10^{-2}
NR-X	45W (TB)	9.11×10^{-2}	4.56×10^{-2}	1.69×10^{-2}	8.44×10^{-3}	6.38×10^{-2}	1.17×10^{-2}	5.67×10^{-2}	2.83×10^{-2}
	55W (TB)	6.85×10^{-2}	3.42×10^{-2}	1.37×10^{-2}	6.86×10^{-3}	4.80×10^{-2}	9.57×10^{-3}	5.38×10^{-2}	2.69×10^{-2}
	25	1.19×10^{-1}	7.64×10^{-2}	2.24×10^{-2}	1.43×10^{-2}	7.47×10^{-2}	1.41×10^{-2}	9.69×10^{-2}	6.20×10^{-2}
	25L	9.18×10^{-2}	5.87×10^{-2}	1.85×10^{-2}	1.18×10^{-2}	5.78×10^{-2}	1.17×10^{-2}	9.69×10^{-2}	6.21×10^{-2}
	30	9.95×10^{-2}	6.37×10^{-2}	1.90×10^{-2}	1.21×10^{-2}	6.23×10^{-2}	1.19×10^{-2}	8.55×10^{-2}	5.47×10^{-2}
	30L	7.65×10^{-2}	4.89×10^{-2}	1.57×10^{-2}	1.00×10^{-2}	4.82×10^{-2}	9.91×10^{-3}	8.55×10^{-2}	5.47×10^{-2}
	35	9.08×10^{-2}	5.81×10^{-2}	1.69×10^{-2}	1.08×10^{-2}	5.67×10^{-2}	1.06×10^{-2}	7.17×10^{-2}	4.59×10^{-2}
	35L	6.88×10^{-2}	4.40×10^{-2}	1.40×10^{-2}	8.96×10^{-3}	4.32×10^{-2}	8.81×10^{-3}	7.17×10^{-2}	4.59×10^{-2}
	45	7.02×10^{-2}	4.50×10^{-2}	1.35×10^{-2}	8.64×10^{-3}	4.37×10^{-2}	8.39×10^{-3}	5.31×10^{-2}	3.40×10^{-2}
	45L	5.25×10^{-2}	3.36×10^{-2}	1.11×10^{-2}	7.11×10^{-3}	3.31×10^{-2}	7.05×10^{-3}	5.32×10^{-2}	3.41×10^{-2}
	55	5.92×10^{-2}	3.79×10^{-2}	1.15×10^{-2}	7.36×10^{-3}	3.72×10^{-2}	7.21×10^{-3}	4.66×10^{-2}	2.98×10^{-2}
	55L	4.66×10^{-2}	2.98×10^{-2}	9.43×10^{-3}	6.02×10^{-3}	2.92×10^{-2}	5.93×10^{-3}	4.65×10^{-2}	2.98×10^{-2}
NR	65	5.12×10^{-2}	3.28×10^{-2}	1.00×10^{-2}	6.40×10^{-3}	3.21×10^{-2}	6.31×10^{-3}	3.93×10^{-2}	2.52×10^{-2}
	65L	3.66×10^{-2}	2.34×10^{-2}	7.73×10^{-3}	4.93×10^{-3}	2.31×10^{-2}	4.89×10^{-3}	3.93×10^{-2}	2.52×10^{-2}

K_{AR1} : Equivalent factor in the M_A radial direction when one LM block is used

K_{AL1} : Equivalent factor in the M_A reverse-radial direction when one LM block is used

K_{AR2} : Equivalent factor in the M_A radial direction when two LM blocks are used in close contact with each other

K_{AL2} : Equivalent factor in the M_A reverse-radial direction when two LM blocks are used in close contact with each other

K_{B1} : M_B Equivalent factor when one LM block is used

K_{B2} : M_B Equivalent factor when two LM blocks are used in close contact with each other

K_{CR} : Equivalent factor in the M_C radial direction

K_{CL} : Equivalent factor in the M_C reverse-radial direction

Table 4: Equivalent Factors (Models NRS-X, NRS, HRW, and RSX)

Model No.	Equivalent factor								
	K_{AR1}	K_{AL1}	K_{AR2}	K_{AL2}	K_{B1}	K_{B2}	K_{CR}	K_{CL}	
NRS-X	25	1.15×10^{-3}	9.66×10^{-2}	2.16×10^{-2}	1.81×10^{-2}	1.06×10^{-1}	1.98×10^{-2}	9.51×10^{-2}	7.99×10^{-2}
	25L	8.85×10^{-2}	7.44×10^{-2}	1.79×10^{-2}	1.50×10^{-2}	8.14×10^{-2}	1.64×10^{-2}	9.51×10^{-2}	7.99×10^{-2}
	30	9.58×10^{-2}	8.05×10^{-2}	1.83×10^{-2}	1.53×10^{-2}	8.81×10^{-2}	1.68×10^{-2}	8.40×10^{-2}	7.05×10^{-2}
	30L	7.38×10^{-2}	6.20×10^{-2}	1.51×10^{-2}	1.27×10^{-2}	6.79×10^{-2}	1.39×10^{-2}	8.40×10^{-2}	7.05×10^{-2}
	35	8.73×10^{-2}	7.33×10^{-2}	1.62×10^{-2}	1.36×10^{-2}	8.03×10^{-2}	1.49×10^{-2}	7.04×10^{-2}	5.91×10^{-2}
	35L	6.63×10^{-2}	5.57×10^{-2}	1.35×10^{-2}	1.13×10^{-2}	6.10×10^{-2}	1.24×10^{-2}	7.04×10^{-2}	5.91×10^{-2}
	45	6.78×10^{-2}	5.69×10^{-2}	1.30×10^{-2}	1.09×10^{-2}	6.23×10^{-2}	1.19×10^{-2}	5.22×10^{-2}	4.39×10^{-2}
	45L	5.07×10^{-2}	4.26×10^{-2}	1.07×10^{-2}	8.99×10^{-3}	4.66×10^{-2}	9.86×10^{-3}	5.22×10^{-2}	4.39×10^{-2}
	55	5.71×10^{-2}	4.79×10^{-2}	1.10×10^{-2}	9.24×10^{-3}	5.25×10^{-2}	1.01×10^{-2}	4.58×10^{-2}	3.84×10^{-2}
	55L	4.50×10^{-2}	3.78×10^{-2}	9.14×10^{-3}	7.65×10^{-3}	4.14×10^{-2}	8.39×10^{-3}	4.57×10^{-2}	3.84×10^{-2}
NRS	65	4.93×10^{-2}	4.14×10^{-2}	9.70×10^{-3}	8.15×10^{-3}	4.53×10^{-2}	8.88×10^{-3}	3.86×10^{-2}	3.25×10^{-2}
	65L	3.54×10^{-2}	2.97×10^{-2}	7.47×10^{-3}	6.30×10^{-3}	3.25×10^{-2}	6.86×10^{-3}	3.86×10^{-2}	3.25×10^{-2}
	75	4.05×10^{-2}		8.01×10^{-3}		4.05×10^{-2}	8.01×10^{-3}		3.20×10^{-2}
	75L	3.03×10^{-2}		6.50×10^{-3}		3.03×10^{-2}	6.50×10^{-3}		3.20×10^{-2}
	85	3.56×10^{-2}		7.05×10^{-3}		3.56×10^{-2}	7.05×10^{-3}		2.83×10^{-2}
	85L	2.70×10^{-2}		5.87×10^{-3}		2.70×10^{-2}	5.87×10^{-3}		2.83×10^{-2}
HRW	100	2.93×10^{-2}		5.97×10^{-3}		2.93×10^{-2}	5.97×10^{-3}		2.41×10^{-2}
	100L	2.65×10^{-2}		5.27×10^{-3}		2.65×10^{-2}	5.27×10^{-3}		2.41×10^{-2}
	12	2.72×10^{-1}	1.93×10^{-1}	5.16×10^{-2}	3.65×10^{-2}	5.47×10^{-1}	1.04×10^{-1}	1.40×10^{-1}	9.92×10^{-2}
	14	2.28×10^{-1}	1.61×10^{-1}	4.16×10^{-2}	2.94×10^{-2}	4.54×10^{-1}	8.28×10^{-2}	1.01×10^{-1}	7.18×10^{-2}
	17	1.96×10^{-1}		3.34×10^{-2}		1.96×10^{-1}	3.34×10^{-2}		6.30×10^{-2}
	21	1.65×10^{-1}		2.90×10^{-2}		1.65×10^{-1}	2.90×10^{-2}		5.89×10^{-2}
	27	1.30×10^{-1}		2.34×10^{-2}		1.30×10^{-1}	2.34×10^{-2}		5.11×10^{-2}
	35	8.69×10^{-2}		1.60×10^{-2}		8.69×10^{-2}	1.60×10^{-2}		3.06×10^{-2}
	50	6.52×10^{-2}		1.22×10^{-2}		6.52×10^{-2}	1.22×10^{-2}		2.35×10^{-2}
	60	5.80×10^{-2}		1.08×10^{-2}		5.80×10^{-2}	1.08×10^{-2}		1.77×10^{-2}

Selection Criteria

Calculating the Applied Load

Model No.	Equivalent factor							
	K_{AR1}	K_{AL1}	K_{AR2}	K_{AL2}	K_{B1}	K_{B2}	K_{CR}	K_{CL}
RSX	5M	6.68×10^{-1}	9.11×10^{-2}	6.80×10^{-1}	9.24×10^{-2}		3.86×10^{-1}	
	5NM	5.25×10^{-1}	8.01×10^{-2}	5.36×10^{-1}	8.12×10^{-2}		3.86×10^{-1}	
	5WM	4.58×10^{-1}	7.39×10^{-2}	4.65×10^{-1}	7.51×10^{-2}		1.96×10^{-1}	
	5WNM	3.31×10^{-1}	5.98×10^{-2}	3.36×10^{-1}	6.06×10^{-2}		1.96×10^{-1}	
	7SM	5.90×10^{-1}	7.87×10^{-2}	6.12×10^{-1}	8.15×10^{-2}		2.59×10^{-1}	
	7M	4.72×10^{-1}	6.68×10^{-2}	4.87×10^{-1}	6.88×10^{-2}		2.59×10^{-1}	
	7NM	3.10×10^{-1}	5.18×10^{-2}	3.20×10^{-1}	5.33×10^{-2}		2.59×10^{-1}	
	7WSM	5.23×10^{-1}	6.75×10^{-2}	5.43×10^{-1}	6.95×10^{-2}		1.36×10^{-1}	
	7WM	3.10×10^{-1}	5.34×10^{-2}	3.20×10^{-1}	5.50×10^{-2}		1.36×10^{-1}	
	7WNM	2.21×10^{-1}	4.18×10^{-2}	2.27×10^{-1}	4.32×10^{-2}		1.36×10^{-1}	
	9SM	5.37×10^{-1}	6.77×10^{-2}	5.57×10^{-1}	7.00×10^{-2}		2.17×10^{-1}	
	9M	3.10×10^{-1}	5.28×10^{-2}	3.19×10^{-1}	5.44×10^{-2}		2.17×10^{-1}	
	9NM	2.17×10^{-1}	4.13×10^{-2}	2.24×10^{-1}	4.27×10^{-2}		2.17×10^{-1}	
	9WSM	4.16×10^{-1}	5.80×10^{-2}	4.30×10^{-1}	5.98×10^{-2}		1.06×10^{-1}	
	9WM	2.31×10^{-1}	4.31×10^{-2}	2.38×10^{-1}	4.43×10^{-2}		1.06×10^{-1}	
	9WNM	1.75×10^{-1}	3.38×10^{-2}	1.81×10^{-1}	3.48×10^{-2}		1.06×10^{-1}	
	12SM	5.04×10^{-1}	5.52×10^{-2}	5.04×10^{-1}	5.52×10^{-2}		1.52×10^{-1}	
	12M	2.96×10^{-1}	4.55×10^{-2}	2.96×10^{-1}	4.55×10^{-2}		1.52×10^{-1}	
	12NM	1.96×10^{-1}	3.50×10^{-2}	1.96×10^{-1}	3.50×10^{-2}		1.52×10^{-1}	
	12WSM	3.32×10^{-1}	5.07×10^{-2}	3.32×10^{-1}	5.07×10^{-2}		7.95×10^{-2}	
	12WM	2.10×10^{-1}	3.69×10^{-2}	2.10×10^{-1}	3.69×10^{-2}		7.95×10^{-2}	
	12WNM	1.46×10^{-1}	2.85×10^{-2}	1.46×10^{-1}	2.85×10^{-2}		7.95×10^{-2}	
	15SM	3.36×10^{-1}	4.58×10^{-2}	3.36×10^{-1}	4.58×10^{-2}		1.41×10^{-1}	
	15M	2.34×10^{-1}	3.65×10^{-2}	2.34×10^{-1}	3.65×10^{-2}		1.41×10^{-1}	
	15NM	1.45×10^{-1}	2.75×10^{-2}	1.45×10^{-1}	2.75×10^{-2}		1.41×10^{-1}	
	15WSM	2.34×10^{-1}	3.81×10^{-2}	2.34×10^{-1}	3.81×10^{-2}		4.82×10^{-2}	
	15WM	1.66×10^{-1}	2.97×10^{-2}	1.66×10^{-1}	2.97×10^{-2}		4.82×10^{-2}	
	15WNM	1.15×10^{-1}	2.28×10^{-2}	1.15×10^{-1}	2.28×10^{-2}		4.82×10^{-2}	
	9M1	3.10×10^{-1}	5.28×10^{-2}	3.19×10^{-1}	5.44×10^{-2}		2.17×10^{-1}	
	9M1N	2.17×10^{-1}	4.13×10^{-2}	2.24×10^{-1}	4.27×10^{-2}		2.17×10^{-1}	
	9M1W	2.31×10^{-1}	4.31×10^{-2}	2.38×10^{-1}	4.43×10^{-2}		1.06×10^{-1}	
	9M1WN	1.75×10^{-1}	3.38×10^{-2}	1.81×10^{-1}	3.48×10^{-2}		1.06×10^{-1}	
	12M1	2.96×10^{-1}	4.55×10^{-2}	2.96×10^{-1}	4.55×10^{-2}		1.52×10^{-1}	
	12M1N	1.96×10^{-1}	3.50×10^{-2}	1.96×10^{-1}	3.50×10^{-2}		1.52×10^{-1}	
	12M1W	2.10×10^{-1}	3.69×10^{-2}	2.10×10^{-1}	3.69×10^{-2}		7.95×10^{-2}	
	12M1WN	1.46×10^{-1}	2.85×10^{-2}	1.46×10^{-1}	2.85×10^{-2}		7.95×10^{-2}	
	15M1	2.34×10^{-1}	3.65×10^{-2}	2.34×10^{-1}	3.65×10^{-2}		1.41×10^{-1}	
	15M1N	1.45×10^{-1}	2.75×10^{-2}	1.45×10^{-1}	2.75×10^{-2}		1.41×10^{-1}	
	15M1W	1.66×10^{-1}	2.97×10^{-2}	1.66×10^{-1}	2.97×10^{-2}		4.82×10^{-2}	
	15M1WN	1.15×10^{-1}	2.28×10^{-2}	1.15×10^{-1}	2.28×10^{-2}		4.82×10^{-2}	

K_{AR1} : Equivalent factor in the M_A radial direction when one LM block is used

K_{AL1} : Equivalent factor in the M_A reverse-radial direction when one LM block is used

K_{AR2} : Equivalent factor in the M_A radial direction when two LM blocks are used in close contact with each other

K_{AL2} : Equivalent factor in the M_A reverse-radial direction when two LM blocks are used in close contact with each other

K_{B1} : M_B Equivalent factor when one LM block is used

K_{B2} : M_B Equivalent factor when two LM blocks are used in close contact with each other

K_{CR} : Equivalent factor in the M_C radial direction

K_{CL} : Equivalent factor in the M_C reverse-radial direction

Table 5: Equivalent Factors (Models RSR and HR)

Model No.	Equivalent factor							
	K_{AR1}	K_{AL1}	K_{AR2}	K_{AL2}	K_{B1}	K_{B2}	K_{CR}	K_{CL}
RSR	2N	6.81×10^{-1}	1.28×10^{-1}	6.81×10^{-1}	1.28×10^{-1}	8.69×10^{-1}		
	2WN	5.10×10^{-1}	9.32×10^{-2}	5.10×10^{-1}	9.32×10^{-2}	4.54×10^{-1}		
	3M	9.20×10^{-1}	1.27×10^{-1}	9.20×10^{-1}	1.27×10^{-1}	6.06×10^{-1}		
	3N	6.06×10^{-1}	1.01×10^{-1}	6.06×10^{-1}	1.01×10^{-1}	6.06×10^{-1}		
	3W	7.03×10^{-1}	1.06×10^{-1}	7.03×10^{-1}	1.06×10^{-1}	3.17×10^{-1}		
	3WN	4.76×10^{-1}	8.27×10^{-2}	4.76×10^{-1}	8.27×10^{-2}	3.17×10^{-1}		
	9M1K	3.06×10^{-1}	5.19×10^{-2}	3.06×10^{-1}	5.19×10^{-2}	2.15×10^{-1}		
	9M1N	2.15×10^{-1}	4.08×10^{-2}	2.15×10^{-1}	4.08×10^{-2}	2.15×10^{-1}		
	9M1WV	2.44×10^{-1}	4.22×10^{-2}	2.44×10^{-1}	4.22×10^{-2}	1.09×10^{-1}		
	9M1WN	1.73×10^{-1}	3.33×10^{-2}	1.73×10^{-1}	3.33×10^{-2}	1.09×10^{-1}		
	12M1V	3.52×10^{-1}	2.46×10^{-1}	5.37×10^{-2}	3.76×10^{-2}	2.81×10^{-1}	4.21×10^{-2}	2.09×10^{-1}
	12M1N	2.30×10^{-1}	1.61×10^{-1}	4.08×10^{-2}	2.85×10^{-2}	1.85×10^{-1}	3.25×10^{-2}	2.09×10^{-1}
	12M1WV	2.47×10^{-1}	1.73×10^{-1}	4.38×10^{-2}	3.07×10^{-2}	1.99×10^{-1}	3.49×10^{-2}	1.02×10^{-1}
	12M1WN	1.71×10^{-1}	1.20×10^{-1}	3.36×10^{-2}	2.35×10^{-2}	1.38×10^{-1}	2.70×10^{-2}	1.02×10^{-1}
	14WV	2.10×10^{-1}	1.47×10^{-1}	3.89×10^{-2}	2.73×10^{-2}	1.69×10^{-1}	3.10×10^{-2}	8.22×10^{-2}
	15M1V	2.77×10^{-1}	1.94×10^{-1}	4.38×10^{-2}	3.07×10^{-2}	2.21×10^{-1}	3.45×10^{-2}	1.69×10^{-1}
	15M1N	1.70×10^{-1}	1.19×10^{-1}	3.24×10^{-2}	2.27×10^{-2}	1.37×10^{-1}	2.59×10^{-2}	1.69×10^{-1}
	15M1WV	1.95×10^{-1}	1.36×10^{-1}	3.52×10^{-2}	2.46×10^{-2}	1.56×10^{-1}	2.80×10^{-2}	5.83×10^{-2}
	15M1WN	1.34×10^{-1}	9.41×10^{-2}	2.68×10^{-2}	1.88×10^{-2}	1.09×10^{-1}	2.16×10^{-2}	5.82×10^{-2}
	20M1V	1.68×10^{-1}	1.18×10^{-1}	2.92×10^{-2}	2.04×10^{-2}	1.35×10^{-1}	2.32×10^{-2}	1.30×10^{-1}
	20M1N	1.20×10^{-1}	8.39×10^{-2}	2.30×10^{-2}	1.61×10^{-2}	9.68×10^{-2}	1.84×10^{-2}	1.30×10^{-1}
HR	918	2.65×10^{-1}	3.58×10^{-2}	2.65×10^{-1}	3.58×10^{-2}	—	—	
	1123	2.08×10^{-1}	3.17×10^{-2}	2.08×10^{-1}	3.17×10^{-2}	—	—	
	1530	1.56×10^{-1}	2.39×10^{-2}	1.56×10^{-1}	2.39×10^{-2}	—	—	
	2042	1.11×10^{-1}	1.80×10^{-2}	1.11×10^{-1}	1.80×10^{-2}	—	—	
	2042T	8.64×10^{-2}	1.53×10^{-2}	8.64×10^{-2}	1.53×10^{-2}	—	—	
	2555	7.79×10^{-2}	1.38×10^{-2}	7.79×10^{-2}	1.38×10^{-2}	—	—	
	2555T	6.13×10^{-2}	1.17×10^{-2}	6.13×10^{-2}	1.17×10^{-2}	—	—	
	3065	6.92×10^{-2}	1.15×10^{-2}	6.92×10^{-2}	1.15×10^{-2}	—	—	
	3065T	5.45×10^{-2}	9.92×10^{-3}	5.45×10^{-2}	9.92×10^{-3}	—	—	
	3575	6.23×10^{-2}	1.08×10^{-2}	6.23×10^{-2}	1.08×10^{-2}	—	—	
	3575T	4.90×10^{-2}	9.42×10^{-3}	4.90×10^{-2}	9.42×10^{-3}	—	—	
	4085	5.19×10^{-2}	9.53×10^{-3}	5.19×10^{-2}	9.53×10^{-3}	—	—	
	4085T	4.09×10^{-2}	7.97×10^{-3}	4.09×10^{-2}	7.97×10^{-3}	—	—	
	50105	4.15×10^{-2}	7.40×10^{-3}	4.15×10^{-2}	7.40×10^{-3}	—	—	
	50105T	3.27×10^{-2}	6.26×10^{-3}	3.27×10^{-2}	6.26×10^{-3}	—	—	
	60125	2.88×10^{-2}	5.18×10^{-3}	2.88×10^{-2}	5.18×10^{-3}	—	—	

 K_{AR1} : Equivalent factor in the M_A radial direction when one LM block is used K_{AL1} : Equivalent factor in the M_A reverse-radial direction when one LM block is used K_{AR2} : Equivalent factor in the M_A radial direction when two LM blocks are used in close contact with each other K_{AL2} : Equivalent factor in the M_A reverse-radial direction when two LM blocks are used in close contact with each other K_{B1} : M_B Equivalent factor when one LM block is used K_{B2} : M_B Equivalent factor when two LM blocks are used in close contact with each other K_{CR} : Equivalent factor in the M_C radial direction K_{CL} : Equivalent factor in the M_C reverse-radial direction

Selection Criteria

Calculating the Applied Load

Table 6: Equivalent Factors (Models GSR, CSR, MX, JR, NSR, SRG, SRN, SRW, and HRX)

Model No.	Equivalent factor							
	K_{AR1}	K_{AL1}	K_{AR2}	K_{AL2}	K_{B1}	K_{B2}	K_{CR}	K_{CL}
GSR	15T	1.61×10^{-1}	1.44×10^{-1}	2.88×10^{-2}	2.59×10^{-2}	1.68×10^{-1}	3.01×10^{-2}	—
	15V	2.21×10^{-1}	1.99×10^{-1}	3.54×10^{-2}	3.18×10^{-2}	2.30×10^{-1}	3.68×10^{-2}	—
	20T	1.28×10^{-1}	1.16×10^{-1}	2.34×10^{-2}	2.10×10^{-2}	1.34×10^{-1}	2.44×10^{-2}	—
	20V	1.77×10^{-1}	1.59×10^{-1}	2.87×10^{-2}	2.58×10^{-2}	1.84×10^{-1}	2.99×10^{-2}	—
	25T	1.07×10^{-1}	9.63×10^{-2}	1.97×10^{-2}	1.77×10^{-2}	1.12×10^{-1}	2.06×10^{-2}	—
	25V	1.47×10^{-1}	1.33×10^{-1}	2.42×10^{-2}	2.18×10^{-2}	1.53×10^{-1}	2.52×10^{-2}	—
	30T	9.17×10^{-2}	8.26×10^{-2}	1.68×10^{-2}	1.51×10^{-2}	9.59×10^{-2}	1.76×10^{-2}	—
	35T	8.03×10^{-2}	7.22×10^{-2}	1.48×10^{-2}	1.33×10^{-2}	8.39×10^{-2}	1.55×10^{-2}	—
CSR	15	1.66×10^{-1}	—	—	1.66×10^{-1}	—	—	—
	20S	1.26×10^{-1}	—	—	1.26×10^{-1}	—	—	—
	20	9.88×10^{-2}	—	—	9.88×10^{-2}	—	—	—
	25S	1.12×10^{-1}	—	—	1.12×10^{-1}	—	—	—
	25	8.23×10^{-2}	—	—	8.23×10^{-2}	—	—	—
	30S	8.97×10^{-2}	—	—	8.97×10^{-2}	—	—	—
	30	7.05×10^{-2}	—	—	7.05×10^{-2}	—	—	—
	35	6.17×10^{-2}	—	—	6.17×10^{-2}	—	—	—
MX	5	4.27×10^{-1}	7.01×10^{-2}	—	4.27×10^{-1}	7.01×10^{-2}	—	—
	7W	2.18×10^{-1}	4.13×10^{-2}	—	2.18×10^{-1}	4.13×10^{-2}	—	—
JR	25	1.12×10^{-1}	2.02×10^{-2}	—	1.12×10^{-1}	2.02×10^{-2}	9.96×10^{-2}	—
	35	7.85×10^{-2}	1.56×10^{-2}	—	7.85×10^{-2}	1.56×10^{-2}	6.69×10^{-2}	—
	45	6.73×10^{-2}	1.21×10^{-2}	—	6.73×10^{-2}	1.21×10^{-2}	5.20×10^{-2}	—
	55	5.61×10^{-2}	1.03×10^{-2}	—	5.61×10^{-2}	1.03×10^{-2}	4.26×10^{-2}	—
NSR	20TBC	2.29×10^{-1}	2.68×10^{-2}	—	2.29×10^{-1}	2.68×10^{-2}	—	—
	25TBC	2.01×10^{-1}	2.27×10^{-2}	—	2.01×10^{-1}	2.27×10^{-2}	—	—
	30TBC	1.85×10^{-1}	1.93×10^{-2}	—	1.85×10^{-1}	1.93×10^{-2}	—	—
	40TBC	1.39×10^{-1}	1.60×10^{-2}	—	1.39×10^{-1}	1.60×10^{-2}	—	—
	50TBC	1.24×10^{-1}	1.42×10^{-2}	—	1.24×10^{-1}	1.42×10^{-2}	—	—
	70TBC	9.99×10^{-2}	1.15×10^{-2}	—	9.99×10^{-2}	1.15×10^{-2}	—	—

Model No.		Equivalent factor							
		K _{AR1}	K _{AL1}	K _{AR2}	K _{AL2}	K _{B1}	K _{B2}	K _{CR}	K _{CL}
SRG	15X	1.23×10 ⁻¹		2.07×10 ⁻²		1.23×10 ⁻¹	2.07×10 ⁻²		1.04×10 ⁻¹
	15XG	1.25×10 ⁻¹		2.08×10 ⁻²		1.25×10 ⁻¹	2.08×10 ⁻²		1.04×10 ⁻¹
	20X	9.60×10 ⁻²		1.71×10 ⁻²		9.60×10 ⁻²	1.71×10 ⁻²		8.00×10 ⁻²
	20XG	9.67×10 ⁻²		1.68×10 ⁻²		9.67×10 ⁻²	1.68×10 ⁻²		8.00×10 ⁻²
	20XL	7.21×10 ⁻²		1.42×10 ⁻²		7.21×10 ⁻²	1.42×10 ⁻²		8.00×10 ⁻²
	20XGL	7.38×10 ⁻²		1.39×10 ⁻²		7.38×10 ⁻²	1.39×10 ⁻²		8.00×10 ⁻²
	25X	8.96×10 ⁻²		1.55×10 ⁻²		8.96×10 ⁻²	1.55×10 ⁻²		7.23×10 ⁻²
	25XG	8.52×10 ⁻²		1.51×10 ⁻²		8.52×10 ⁻²	1.51×10 ⁻²		7.23×10 ⁻²
	25XL	6.99×10 ⁻²		1.31×10 ⁻²		6.99×10 ⁻²	1.31×10 ⁻²		7.23×10 ⁻²
	25XGL	6.69×10 ⁻²		1.27×10 ⁻²		6.69×10 ⁻²	1.27×10 ⁻²		7.23×10 ⁻²
	30X	8.06×10 ⁻²		1.33×10 ⁻²		8.06×10 ⁻²	1.33×10 ⁻²		5.61×10 ⁻²
	30XG	7.90×10 ⁻²		1.34×10 ⁻²		7.90×10 ⁻²	1.34×10 ⁻²		5.96×10 ⁻²
	30XL	6.12×10 ⁻²		1.11×10 ⁻²		6.12×10 ⁻²	1.11×10 ⁻²		5.61×10 ⁻²
	30XGL	6.15×10 ⁻²		1.11×10 ⁻²		6.15×10 ⁻²	1.11×10 ⁻²		5.96×10 ⁻²
	35	7.14×10 ⁻²		1.18×10 ⁻²		7.14×10 ⁻²	1.18×10 ⁻²		4.98×10 ⁻²
	35G	7.37×10 ⁻²		1.17×10 ⁻²		7.37×10 ⁻²	1.17×10 ⁻²		4.86×10 ⁻²
	35L	5.26×10 ⁻²		9.67×10 ⁻³		5.26×10 ⁻²	9.67×10 ⁻³		4.98×10 ⁻²
	35GL	5.37×10 ⁻²		9.67×10 ⁻³		5.37×10 ⁻²	9.67×10 ⁻³		4.86×10 ⁻²
	35SL	4.40×10 ⁻²		8.34×10 ⁻³		4.40×10 ⁻²	8.34×10 ⁻³		4.98×10 ⁻²
	35GSL	4.43×10 ⁻²		8.35×10 ⁻³		4.43×10 ⁻²	8.35×10 ⁻³		4.86×10 ⁻²
	45	5.49×10 ⁻²		9.58×10 ⁻³		5.49×10 ⁻²	9.58×10 ⁻³		3.85×10 ⁻²
	45G	5.53×10 ⁻²		9.60×10 ⁻³		5.53×10 ⁻²	9.60×10 ⁻³		3.68×10 ⁻²
	45L	4.18×10 ⁻²		7.93×10 ⁻³		4.18×10 ⁻²	7.93×10 ⁻³		3.85×10 ⁻²
	45GL	4.19×10 ⁻²		7.94×10 ⁻³		4.19×10 ⁻²	7.94×10 ⁻³		3.68×10 ⁻²
	45SL	3.28×10 ⁻²		6.56×10 ⁻³		3.28×10 ⁻²	6.56×10 ⁻³		3.85×10 ⁻²
	45GSL	3.30×10 ⁻²		6.57×10 ⁻³		3.30×10 ⁻²	6.57×10 ⁻³		3.68×10 ⁻²
	55	4.56×10 ⁻²		8.04×10 ⁻³		4.56×10 ⁻²	8.04×10 ⁻³		3.25×10 ⁻²
	55G	4.61×10 ⁻²		8.05×10 ⁻³		4.61×10 ⁻²	8.05×10 ⁻³		3.14×10 ⁻²
	55L	3.37×10 ⁻²		6.42×10 ⁻³		3.37×10 ⁻²	6.42×10 ⁻³		3.25×10 ⁻²
	55GL	3.40×10 ⁻²		6.42×10 ⁻³		3.40×10 ⁻²	6.42×10 ⁻³		3.14×10 ⁻²
	55SL	2.56×10 ⁻²		5.22×10 ⁻³		2.56×10 ⁻²	5.22×10 ⁻³		3.25×10 ⁻²
	55GSL	2.59×10 ⁻²		5.22×10 ⁻³		2.59×10 ⁻²	5.22×10 ⁻³		3.14×10 ⁻²
	65	3.54×10 ⁻²		6.06×10 ⁻³		3.54×10 ⁻²	6.06×10 ⁻³		2.70×10 ⁻²
	65G	3.44×10 ⁻²		6.10×10 ⁻³		3.44×10 ⁻²	6.10×10 ⁻³		2.63×10 ⁻²
	65L	2.63×10 ⁻²		4.97×10 ⁻³		2.63×10 ⁻²	4.97×10 ⁻³		2.70×10 ⁻²
	65GL	2.65×10 ⁻²		4.98×10 ⁻³		2.65×10 ⁻²	4.98×10 ⁻³		2.63×10 ⁻²
	65SL	1.97×10 ⁻²		4.01×10 ⁻³		1.97×10 ⁻²	4.01×10 ⁻³		2.70×10 ⁻²
	65GSL	1.99×10 ⁻²		4.10×10 ⁻³		1.99×10 ⁻²	4.10×10 ⁻³		2.63×10 ⁻²
	85LC	2.19×10 ⁻²		4.15×10 ⁻³		2.19×10 ⁻²	4.15×10 ⁻³		1.91×10 ⁻²
	100LC	1.95×10 ⁻²		3.67×10 ⁻³		1.95×10 ⁻²	3.67×10 ⁻³		1.62×10 ⁻²
SRN	35	7.14×10 ⁻²		1.18×10 ⁻²		7.14×10 ⁻²	1.18×10 ⁻²		4.98×10 ⁻²
	35G	7.37×10 ⁻²		1.17×10 ⁻²		7.37×10 ⁻²	1.17×10 ⁻²		4.86×10 ⁻²

Selection Criteria

Calculating the Applied Load

Model No.	Equivalent factor							
	K_{AR1}	K_{AL1}	K_{AR2}	K_{AL2}	K_{B1}	K_{B2}	K_{CR}	K_{CL}
SRN	35L	5.26×10^2	9.67×10^{-3}	5.26×10^2	9.67×10^{-3}	4.98×10^2		
	35GL	5.37×10^2	9.67×10^{-3}	5.37×10^2	9.67×10^{-3}	4.86×10^2		
	35SL	4.40×10^2	8.34×10^{-3}	4.40×10^2	8.34×10^{-3}	4.98×10^2		
	35GSL	4.43×10^2	8.35×10^{-3}	4.43×10^2	8.35×10^{-3}	4.86×10^2		
	45	5.49×10^2	9.58×10^{-3}	5.49×10^2	9.58×10^{-3}	3.85×10^2		
	45G	5.53×10^2	9.60×10^{-3}	5.53×10^2	9.60×10^{-3}	3.68×10^2		
	45L	4.18×10^2	7.93×10^{-3}	4.18×10^2	7.93×10^{-3}	3.85×10^2		
	45GL	4.19×10^2	7.94×10^{-3}	4.19×10^2	7.94×10^{-3}	3.68×10^2		
	45SL	3.28×10^2	6.56×10^{-3}	3.28×10^2	6.56×10^{-3}	3.85×10^2		
	45GSL	3.30×10^2	6.57×10^{-3}	3.30×10^2	6.57×10^{-3}	3.68×10^2		
	55	4.56×10^2	8.04×10^{-3}	4.56×10^2	8.04×10^{-3}	3.25×10^2		
	55G	4.61×10^2	8.05×10^{-3}	4.61×10^2	8.05×10^{-3}	3.14×10^2		
	55L	3.37×10^2	6.42×10^{-3}	3.37×10^2	6.42×10^{-3}	3.25×10^2		
	55GL	3.40×10^2	6.42×10^{-3}	3.40×10^2	6.42×10^{-3}	3.14×10^2		
	55SL	2.56×10^2	5.22×10^{-3}	2.56×10^2	5.22×10^{-3}	3.25×10^2		
	55GSL	2.59×10^2	5.22×10^{-3}	2.59×10^2	5.22×10^{-3}	3.14×10^2		
	65	3.54×10^2	6.06×10^{-3}	3.54×10^2	6.06×10^{-3}	2.70×10^2		
	65G	3.44×10^2	6.10×10^{-3}	3.44×10^2	6.10×10^{-3}	2.63×10^2		
	65L	2.63×10^2	4.97×10^{-3}	2.63×10^2	4.97×10^{-3}	2.70×10^2		
	65GL	2.65×10^2	4.98×10^{-3}	2.65×10^2	4.98×10^{-3}	2.63×10^2		
	65SL	1.97×10^2	4.01×10^{-3}	1.97×10^2	4.01×10^{-3}	2.70×10^2		
	65GSL	1.99×10^2	4.10×10^{-3}	1.99×10^2	4.10×10^{-3}	2.63×10^2		
SRW	70	4.18×10^2	7.93×10^{-3}	4.18×10^2	7.93×10^{-3}	2.52×10^2		
	85	3.37×10^2	6.42×10^{-3}	3.37×10^2	6.42×10^{-3}	2.09×10^2		
	100	2.63×10^2	4.97×10^{-3}	2.63×10^2	4.97×10^{-3}	1.77×10^2		
	130	2.19×10^2	4.15×10^{-3}	2.19×10^2	4.15×10^{-3}	1.33×10^2		
	150	1.95×10^2	3.67×10^{-3}	1.95×10^2	3.67×10^{-3}	1.15×10^2		
HRX	25	7.91×10^2	1.51×10^{-2}	7.91×10^2	1.51×10^{-2}	1.29×10^{-1}	1.29×10^{-1}	
	25L	6.52×10^2	1.30×10^{-2}	6.52×10^2	1.30×10^{-2}	1.29×10^{-1}	1.29×10^{-1}	
	30	7.07×10^2	1.36×10^{-2}	7.07×10^2	1.36×10^{-2}	1.02×10^{-1}	1.02×10^{-1}	
	30L	5.54×10^2	1.12×10^{-2}	5.54×10^2	1.12×10^{-2}	1.02×10^{-1}	1.02×10^{-1}	
	35	6.45×10^2	1.29×10^{-2}	6.45×10^2	1.29×10^{-2}	8.29×10^{-2}	8.29×10^{-2}	
	35L	5.00×10^2	1.05×10^{-2}	5.00×10^2	1.05×10^{-2}	8.29×10^{-2}	8.29×10^{-2}	
	45	5.16×10^2	1.05×10^{-2}	5.16×10^2	1.05×10^{-2}	6.52×10^{-2}	6.52×10^{-2}	
	45L	4.00×10^2	8.50×10^{-3}	4.00×10^2	8.50×10^{-3}	6.52×10^{-2}	6.52×10^{-2}	
	55	4.17×10^2	8.74×10^{-3}	4.17×10^2	8.74×10^{-3}	5.39×10^{-2}	5.39×10^{-2}	
	55L	3.14×10^2	6.85×10^{-3}	3.14×10^2	6.85×10^{-3}	5.39×10^{-2}	5.39×10^{-2}	
	65	3.08×10^2	6.56×10^{-3}	3.08×10^2	6.56×10^{-3}	4.62×10^{-2}	4.62×10^{-2}	
	65L	2.36×10^2	5.15×10^{-3}	2.36×10^2	5.15×10^{-3}	4.62×10^{-2}	4.62×10^{-2}	

K_{AR1} : Equivalent factor in the M_A radial direction when one LM block is used
 K_{AL1} : Equivalent factor in the M_A reverse-radial direction when one LM block is used
 K_{AR2} : Equivalent factor in the M_A radial direction when two LM blocks are used in close contact with each other
 K_{AL2} : Equivalent factor in the M_A reverse-radial direction when two LM blocks are used in close contact with each other

K_{B1} : M_B Equivalent factor when one LM block is used
 K_{B2} : M_B Equivalent factor when two LM blocks are used in close contact with each other
 K_{CR} : Equivalent factor in the M_C radial direction
 K_{CL} : Equivalent factor in the M_C reverse-radial direction

Double-Axis Use

● Determining the Operating Conditions

Set the conditions needed to calculate the applied load and service life in hours for the LM System.

- (1) Mass: m (kg)
- (2) Direction of the working load
- (3) Position of the working point (e.g., center of gravity): ℓ_2, ℓ_3, h_1 (mm)
- (4) Thrust position: ℓ_4, h_2 (mm)
- (5) LM system arrangement: ℓ_0, ℓ_1 (mm)
(No. of units and axes)

- (6) Velocity diagram

Speed: V (mm/s)

Time constant: t_n (s)

Acceleration: α_n (mm/s²)

$$(\alpha_n = \frac{V}{t_n})$$

- (7) Duty cycle

Number of reciprocations per minute: N_1 (min⁻¹)

- (8) Stroke length: ℓ_s (mm)

- (9) Average speed: V_m (m/s)

- (10) Required service life in hours: L_h (h)

Gravitational acceleration $g = 9.8$ (m/s²)

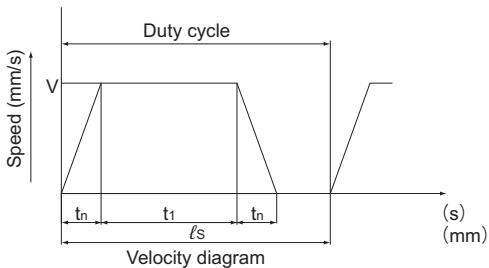
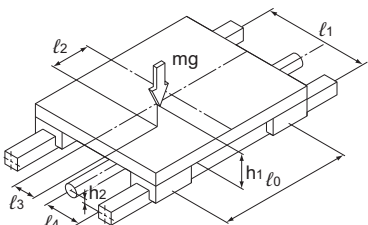


Fig. 6: Operating Conditions

Selection Criteria

Calculating the Applied Load

● Applied Load Equation

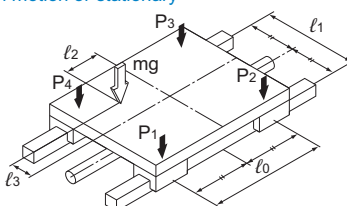
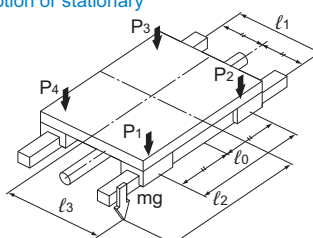
The load applied to the LM Guide varies with external forces such as the location of the center of gravity of the load, the position of the thrust, inertia generated by acceleration and deceleration during starts and stops, and cutting resistance.

In selecting an LM Guide, it is necessary to obtain the value of the applied load while taking into account these conditions.

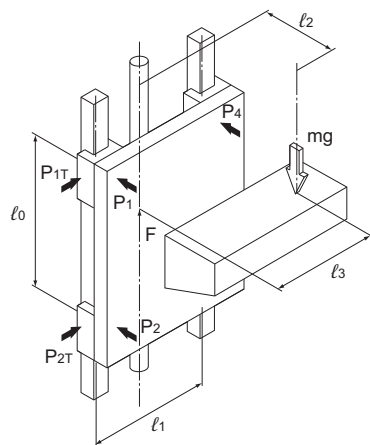
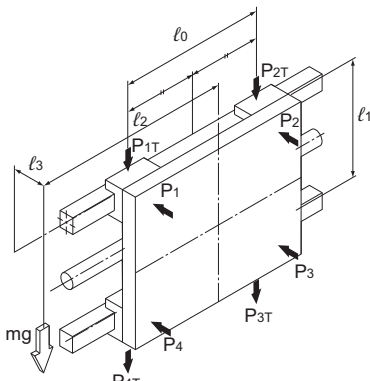
Calculate the load applied to the LM Guide in each of the examples 1 to 10 shown below.

m	: Mass	(kg)
ℓ_n	: Distance	(mm)
F_n	: External force	(N)
P_n	: Applied load (radial/reverse-radial direction)	(N)
P_{nT}	: Applied load (lateral directions)	(N)
g	: Gravitational acceleration	(m/s ²) ($g = 9.8 \text{ m/s}^2$)
V	: Speed	(m/s)
t_n	: Time constant	(s)
α_n	: Acceleration	(m/s ²) $(\alpha_n = \frac{V}{t_n})$

Example

	Operating conditions	Applied load equation
1	Horizontal mount (with the block moving) Uniform motion or stationary 	$P_1 = \frac{mg}{4} + \frac{mg \cdot l_2}{2 \cdot l_0} - \frac{mg \cdot l_3}{2 \cdot l_1}$ $P_2 = \frac{mg}{4} - \frac{mg \cdot l_2}{2 \cdot l_0} - \frac{mg \cdot l_3}{2 \cdot l_1}$ $P_3 = \frac{mg}{4} - \frac{mg \cdot l_2}{2 \cdot l_0} + \frac{mg \cdot l_3}{2 \cdot l_1}$ $P_4 = \frac{mg}{4} + \frac{mg \cdot l_2}{2 \cdot l_0} + \frac{mg \cdot l_3}{2 \cdot l_1}$
2	Horizontal mount, overhung (with the block moving) Uniform motion or stationary 	$P_1 = \frac{mg}{4} + \frac{mg \cdot l_2}{2 \cdot l_0} + \frac{mg \cdot l_3}{2 \cdot l_1}$ $P_2 = \frac{mg}{4} - \frac{mg \cdot l_2}{2 \cdot l_0} + \frac{mg \cdot l_3}{2 \cdot l_1}$ $P_3 = \frac{mg}{4} - \frac{mg \cdot l_2}{2 \cdot l_0} - \frac{mg \cdot l_3}{2 \cdot l_1}$ $P_4 = \frac{mg}{4} + \frac{mg \cdot l_2}{2 \cdot l_0} - \frac{mg \cdot l_3}{2 \cdot l_1}$

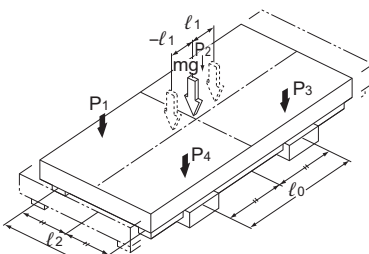
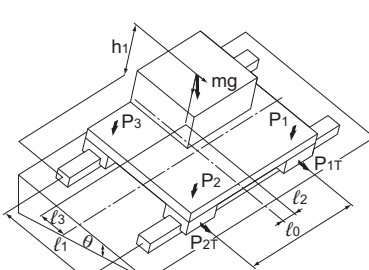
Note) Load is positive in the direction of the arrow.

	Operating conditions	Applied load equation
3	<p>Vertical mount Uniform motion or stationary</p>  <p>E.g.: Vertical axis of industrial robot, automatic coating machine, lifter</p>	$P_1 = P_4 = - \frac{mg \cdot l_2}{2 \cdot l_0}$ $P_2 = P_3 = \frac{mg \cdot l_2}{2 \cdot l_0}$ $P_{1T} = P_{4T} = \frac{mg \cdot l_3}{2 \cdot l_0}$ $P_{2T} = P_{3T} = - \frac{mg \cdot l_3}{2 \cdot l_0}$
4	<p>Wall mount Uniform motion or stationary</p>  <p>E.g.: Travel axis of cross-rail loader</p>	$P_1 = P_2 = - \frac{mg \cdot l_3}{2 \cdot l_1}$ $P_3 = P_4 = \frac{mg \cdot l_3}{2 \cdot l_1}$ $P_{1T} = P_{4T} = \frac{mg}{4} + \frac{mg \cdot l_2}{2 \cdot l_0}$ $P_{2T} = P_{3T} = \frac{mg}{4} - \frac{mg \cdot l_2}{2 \cdot l_0}$

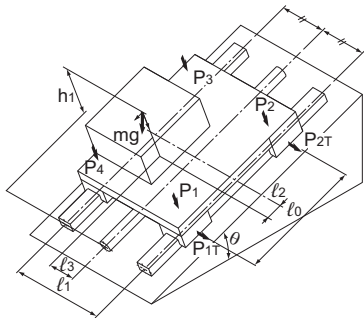
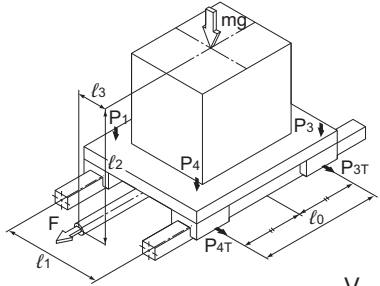
Note) Load is positive in the direction of the arrow.

Selection Criteria

Calculating the Applied Load

	Operating conditions	Applied load equation
5	<p>With the LM rails moving Horizontal mount</p>  <p>E.g.: XY table sliding fork</p>	$P_1 \text{ to } P_4 (\max) = \frac{mg}{4} + \frac{mg \cdot l_1}{2 \cdot l_0}$ $P_1 \text{ to } P_4 (\min) = \frac{mg}{4} - \frac{mg \cdot l_1}{2 \cdot l_0}$
6	<p>Lateral tilt mount</p>  <p>E.g.: NC lathe carriage</p>	$P_1 = + \frac{mg \cdot \cos\theta}{4} + \frac{mg \cdot \cos\theta \cdot l_2}{2 \cdot l_0} - \frac{mg \cdot \cos\theta \cdot l_3}{2 \cdot l_1} + \frac{mg \cdot \sin\theta \cdot h_1}{2 \cdot l_1}$ $P_{1T} = \frac{mg \cdot \sin\theta}{4} + \frac{mg \cdot \sin\theta \cdot l_2}{2 \cdot l_0}$ $P_2 = + \frac{mg \cdot \cos\theta}{4} - \frac{mg \cdot \cos\theta \cdot l_2}{2 \cdot l_0} - \frac{mg \cdot \cos\theta \cdot l_3}{2 \cdot l_1} + \frac{mg \cdot \sin\theta \cdot h_1}{2 \cdot l_1}$ $P_{2T} = \frac{mg \cdot \sin\theta}{4} - \frac{mg \cdot \sin\theta \cdot l_2}{2 \cdot l_0}$ $P_3 = + \frac{mg \cdot \cos\theta}{4} - \frac{mg \cdot \cos\theta \cdot l_2}{2 \cdot l_0} + \frac{mg \cdot \cos\theta \cdot l_3}{2 \cdot l_1} - \frac{mg \cdot \sin\theta \cdot h_1}{2 \cdot l_1}$ $P_{3T} = \frac{mg \cdot \sin\theta}{4} - \frac{mg \cdot \sin\theta \cdot l_2}{2 \cdot l_0}$ $P_4 = + \frac{mg \cdot \cos\theta}{4} + \frac{mg \cdot \cos\theta \cdot l_2}{2 \cdot l_0} + \frac{mg \cdot \cos\theta \cdot l_3}{2 \cdot l_1} - \frac{mg \cdot \sin\theta \cdot h_1}{2 \cdot l_1}$ $P_{4T} = \frac{mg \cdot \sin\theta}{4} + \frac{mg \cdot \sin\theta \cdot l_2}{2 \cdot l_0}$

Note) Load is positive in the direction of the arrow.

	Operating conditions	Applied load equation
7	<p>Longitudinal tilt mount</p>  <p>E.g.: NC lathe tool rest</p>	$P_1 = + \frac{mg \cdot \cos\theta}{4} + \frac{mg \cdot \cos\theta \cdot l_2}{2 \cdot l_0}$ $- \frac{mg \cdot \cos\theta \cdot l_3}{2 \cdot l_1} + \frac{mg \cdot \sin\theta \cdot h_1}{2 \cdot l_0}$ $P_{1T} = + \frac{mg \cdot \sin\theta \cdot l_3}{2 \cdot l_0}$ $P_2 = + \frac{mg \cdot \cos\theta}{4} - \frac{mg \cdot \cos\theta \cdot l_2}{2 \cdot l_0}$ $- \frac{mg \cdot \cos\theta \cdot l_3}{2 \cdot l_1} - \frac{mg \cdot \sin\theta \cdot h_1}{2 \cdot l_0}$ $P_{2T} = - \frac{mg \cdot \sin\theta \cdot l_3}{2 \cdot l_0}$ $P_3 = + \frac{mg \cdot \cos\theta}{4} - \frac{mg \cdot \cos\theta \cdot l_2}{2 \cdot l_0}$ $+ \frac{mg \cdot \cos\theta \cdot l_3}{2 \cdot l_1} - \frac{mg \cdot \sin\theta \cdot h_1}{2 \cdot l_0}$ $P_{3T} = - \frac{mg \cdot \sin\theta \cdot l_3}{2 \cdot l_0}$ $P_4 = + \frac{mg \cdot \cos\theta}{4} + \frac{mg \cdot \cos\theta \cdot l_2}{2 \cdot l_0}$ $+ \frac{mg \cdot \cos\theta \cdot l_3}{2 \cdot l_1} + \frac{mg \cdot \sin\theta \cdot h_1}{2 \cdot l_0}$ $P_{4T} = + \frac{mg \cdot \sin\theta \cdot l_3}{2 \cdot l_0}$
8	<p>Horizontal mount with inertia</p>  <p>$\alpha_n = \frac{V}{t_n}$</p> <p>Velocity diagram: A graph showing Speed V (m/s) on the y-axis and Time (s) on the x-axis. The curve starts at zero, rises linearly to a peak, and then falls back to zero. The time axis is marked with t1, t2, and t3.</p> <p>E.g.: Conveyance truck</p>	<p>During acceleration</p> $P_1 = P_4 = \frac{mg}{4} - \frac{m \cdot \alpha_1 \cdot l_2}{2 \cdot l_0}$ $P_2 = P_3 = \frac{mg}{4} + \frac{m \cdot \alpha_1 \cdot l_2}{2 \cdot l_0}$ $P_{1T} = P_{4T} = \frac{m \cdot \alpha_1 \cdot l_3}{2 \cdot l_0}$ $P_{2T} = P_{3T} = - \frac{m \cdot \alpha_1 \cdot l_3}{2 \cdot l_0}$ <p>During uniform motion</p> $P_1 \text{ to } P_4 = \frac{mg}{4}$ <p>During deceleration</p> $P_1 = P_4 = \frac{mg}{4} + \frac{m \cdot \alpha_3 \cdot l_2}{2 \cdot l_0}$ $P_2 = P_3 = \frac{mg}{4} - \frac{m \cdot \alpha_3 \cdot l_2}{2 \cdot l_0}$ $P_{1T} = P_{4T} = - \frac{m \cdot \alpha_3 \cdot l_3}{2 \cdot l_0}$ $P_{2T} = P_{3T} = \frac{m \cdot \alpha_3 \cdot l_3}{2 \cdot l_0}$

Note) Load is positive in the direction of the arrow.

Selection Criteria

Calculating the Applied Load

	Operating conditions	Applied load equation
9	<p>Vertical mount with inertia</p> $\alpha_n = \frac{V}{t_n}$ <p>Velocity diagram</p> <p>E.g.: Conveyance lift</p>	<p>During acceleration</p> $P_1 = P_4 = -\frac{m(g+\alpha_1)\ell_2}{2 \cdot \ell_0}$ $P_2 = P_3 = \frac{m(g+\alpha_1)\ell_2}{2 \cdot \ell_0}$ $P_{1T} = P_{4T} = \frac{m(g+\alpha_1)\ell_3}{2 \cdot \ell_0}$ $P_{2T} = P_{3T} = -\frac{m(g+\alpha_1)\ell_3}{2 \cdot \ell_0}$ <p>During uniform motion</p> $P_1 = P_4 = -\frac{mg \cdot \ell_2}{2 \cdot \ell_0}$ $P_2 = P_3 = \frac{mg \cdot \ell_2}{2 \cdot \ell_0}$ $P_{1T} = P_{4T} = \frac{mg \cdot \ell_3}{2 \cdot \ell_0}$ $P_{2T} = P_{3T} = -\frac{mg \cdot \ell_3}{2 \cdot \ell_0}$ <p>During deceleration</p> $P_1 = P_4 = -\frac{m(g-\alpha_3)\ell_2}{2 \cdot \ell_0}$ $P_2 = P_3 = \frac{m(g-\alpha_3)\ell_2}{2 \cdot \ell_0}$ $P_{1T} = P_{4T} = \frac{m(g-\alpha_3)\ell_3}{2 \cdot \ell_0}$ $P_{2T} = P_{3T} = -\frac{m(g-\alpha_3)\ell_3}{2 \cdot \ell_0}$
10	<p>Horizontal mount with external force</p> <p>E.g.: Drill unit, milling machine, lathe, machining center, and other cutting machines</p>	<p>Under force F_1</p> $P_1 = P_4 = -\frac{F_1 \cdot \ell_5}{2 \cdot \ell_0}$ $P_2 = P_3 = \frac{F_1 \cdot \ell_5}{2 \cdot \ell_0}$ $P_{1T} = P_{4T} = \frac{F_1 \cdot \ell_4}{2 \cdot \ell_0}$ $P_{2T} = P_{3T} = -\frac{F_1 \cdot \ell_4}{2 \cdot \ell_0}$ <p>Under force F_2</p> $P_1 = P_4 = \frac{F_2}{4} + \frac{F_2 \cdot \ell_2}{2 \cdot \ell_0}$ $P_2 = P_3 = \frac{F_2}{4} - \frac{F_2 \cdot \ell_2}{2 \cdot \ell_0}$ <p>Under force F_3</p> $P_1 = P_2 = \frac{F_3 \cdot \ell_3}{2 \cdot \ell_1}$ $P_3 = P_4 = -\frac{F_3 \cdot \ell_3}{2 \cdot \ell_1}$ $P_{1T} = P_{4T} = -\frac{F_3}{4} - \frac{F_3 \cdot \ell_2}{2 \cdot \ell_0}$ $P_{2T} = P_{3T} = -\frac{F_3}{4} + \frac{F_3 \cdot \ell_2}{2 \cdot \ell_0}$

Note) Load is positive in the direction of the arrow.